

Capítulo V – MODULAÇÃO

Sistemas para comunicação à distância normalmente requerem uma portadora de alta frequência para transmitir informação. Existem três parâmetros da “portadora” que podem ser modificados (ou como chamaremos *modulados*) para suportar esta transmissão. Os parâmetros são amplitude, frequência e fase, que por sua vez resultam em modulação em amplitude, modulação em frequência e modulação em fase, respectivamente.

5.1. TEOREMA DA MODULAÇÃO

Basicamente, quando aplicada uma translação em frequência (propriedade da transformada de Fourier) a um sinal de banda passante, o resultado obtido é uma resposta em frequência de banda passante.

Para melhor explicar o teorema da modulação vamos utilizar a seguinte notação: O sinal modulador $x(t)$, que contém a mensagem a ser transmitida, tem banda limitada e módulo da amplitude normalizada, ou seja,

$$x(t) = 0, |\omega| > \omega_0 \quad (5.1)$$

e,

$$|x(t)| \leq 1. \quad (5.2)$$

Vamos considerar então o sinal de banda passante $x_{\text{mod}}(t)$ (modulado):

$$x_{\text{mod}}(t) = x(t)e^{-j(\omega_c t + \phi)}, \quad (5.3)$$

onde $x(t)$ é o envelope, ϕ é a fase do sinal e ω_c é a frequência angular de oscilação da portadora.

Então, a partir da propriedade de translação na frequência da transformada de Fourier, $x(t)y(t) \xrightarrow{\mathfrak{F}} \frac{1}{2\pi} X(\omega) * Y(\omega)$, pode-se calcular o conteúdo espectral do sinal modulado apresentado em (5.3). Considerando a fase fixa, tem-se:

$$x(t)e^{-j(\omega_c t)} \xrightarrow{\mathfrak{F}} \frac{1}{2\pi} X(\omega) * \pi[\delta(\omega - \omega_c) + \delta(\omega + \omega_c)], \quad (5.4)$$

$$x(t)e^{-j(\omega_c t)} \xrightarrow{\mathfrak{F}} \frac{1}{2} [X(\omega - \omega_c) + X(\omega + \omega_c)]. \quad (5.5)$$

Note que o sinal de mensagem aparece deslocado na frequência em (5.5), ou seja, o sinal está modulado pela portadora oscilando na frequência ω_c . A Fig. 5.1 ilustra este processo.

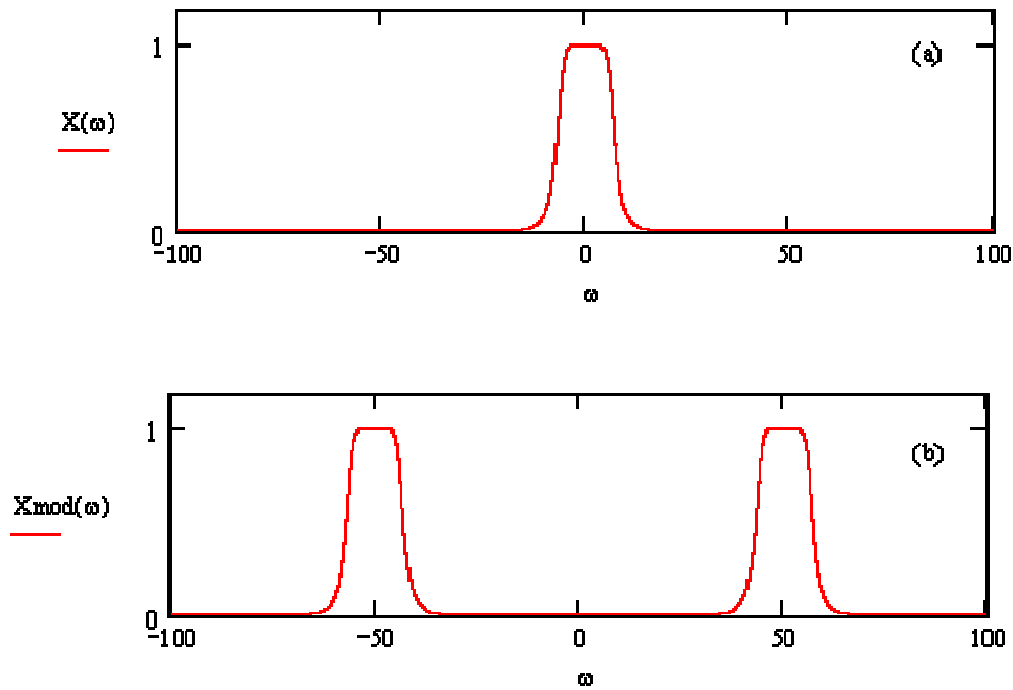


Figura 5.1 – (a) Espectro do sinal de mensagem e (b) espectro do sinal modulado.

Considerando (5.3) e sabendo que $e^{j(\omega_c t + \phi)} = \cos(\omega_c t + \phi) + j\sin(\omega_c t + \phi)$, tem-se:

$$x_{\text{mod}}(t) = x(t)\cos(\omega_c t + \phi) + jx(t)\sin(\omega_c t + \phi). \quad (5.6)$$

Mas sabendo que:

$$\cos(\omega_c t + \phi) = \cos(\omega_c t)\cos(\phi) - \text{sen}(\omega_c t)\text{sen}(\phi) \quad (5.7)$$

e

$$\text{sen}(\omega_c t + \phi) = \text{sen}(\omega_c t)\cos(\phi) + \cos(\omega_c t)\text{sen}(\phi), \quad (5.8)$$

Então,

$$x_{\text{mod}}(t) = x(t)[\cos(\omega_c t)\cos(\phi) - \text{sen}(\omega_c t)\text{sen}(\phi)] + jx(t)[\text{sen}(\omega_c t)\cos(\phi) + \cos(\omega_c t)\text{sen}(\phi)] \quad (5.9)$$

Re-arrumando os termos, tem-se:

$$x_{\text{mod}}(t) = x(t)[\cos(\phi) - j\text{sen}(\phi)]\cos(\omega_c t) + x(t)[j\cos(\phi) - \text{sen}(\phi)]\text{sen}(\omega_c t). \quad (5.10)$$

As componentes $x(t)[\cos(\phi) - j\text{sen}(\phi)]$ e $x(t)[j\cos(\phi) - \text{sen}(\phi)]$ são chamadas de componentes em fase e em quadratura respectivamente.

5.2. MODULAÇÃO EM AMPLITUDE

A propriedade mais importante dos sistemas que utilizam modulação em amplitude é que o envelope apresenta a mesma forma do sinal de mensagem. A frequência da portadora é normalmente muito maior do que a frequência máxima do sinal. Isto significa que a portadora oscila em uma frequência muito alta do que o sinal de mensagem. Como consequência, tem-se o sinal modulado na portadora a uma distância espectral convenientemente afastada da frequência nula. Um exemplo razoável é $f_c = 1000\text{kHz}$ e $B = 4\text{kHz}$. Note que $f_c = 1000\text{kHz}$ recai dentro da faixa de transmissão das emissoras de

AM. Uma banda de 4 kHz também é razoável, já que o conteúdo espectral da voz humana recai nesta faixa.

O envelope pode ser escrito como:

$$A(t) = A_c [1 + \mu x(t)] \quad (5.11)$$

onde μ é uma constante positiva chamada de índice de modulação. É importante lembrar que $|x(t)| \leq 1$.

Então, o sinal AM completo pode ser escrito como:

$$x_{AM}(t) = A_c [1 + \mu x(t)] \cos(\omega_c t), \quad (5.12)$$

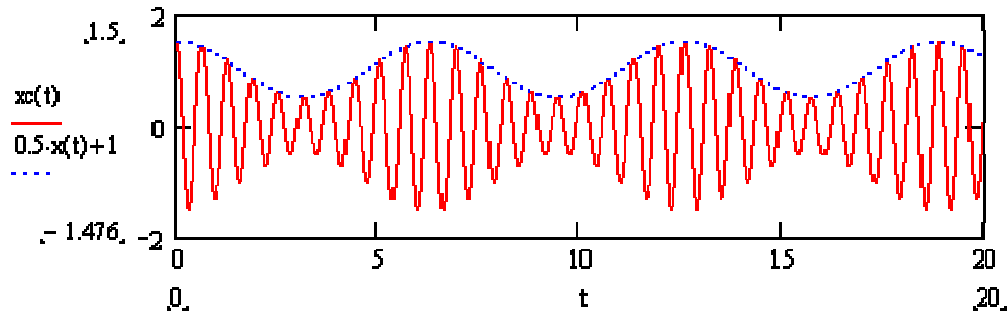
$$x_{AM}(t) = A_c \cos(\omega_c t) + A_c \mu x(t) \cos(\omega_c t). \quad (5.13)$$

Pode-se notar que nesta modulação não existe mudança de fase na portadora. Também é importante frisar que não existe componente em quadratura, somente em fase.

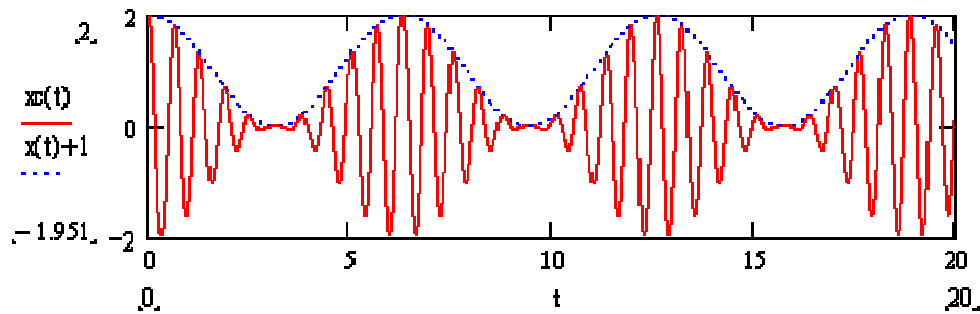
Na Fig. 5.2 estão apresentados exemplos de sinais modulados em amplitude (em vermelho) e o sinal de mensagem (azul pontilhado) para três valores distintos de índice de modulação (a) $\mu = 0,5$, (b) $\mu = 1$ e (c) $\mu = 1,5$.

No caso onde $\mu < 1$, toda a informação está na envoltória sem nenhuma inversão de fase. Então, é fácil extrair a mensagem com um circuito detector de envoltória. Obedecendo esta condição, tem-se a garantia que a amplitude mínima da envoltória é maior do que zero e a amplitude máxima da envoltória é no máximo duas vezes a amplitude da portadora. Assim, não se tem distorção do envelope.

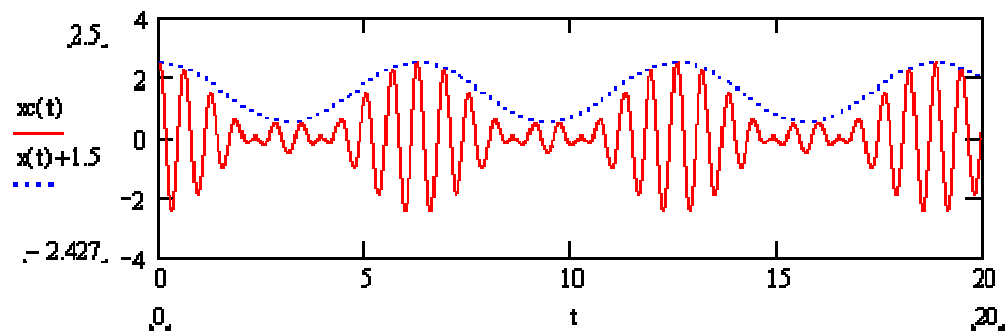
Se $\mu > 1$, tem-se mudança de fase na portadora (ver Fig. 5.2.a), implicando em distorção do envelope, tornando a detecção pelo circuito detector de envoltória impossível. É importante frisar que existem detectores que podem ser utilizados neste caso.



(a)



(b)



(c)

Figura 5.2 – Sinais modulados AM (vermelho) e sinal de mensagem (azul pontilhado) para três valores distintos de índice de modulação (a) $\mu = 0,5$, (b) $\mu = 1$ e (c) $\mu = 1,5$.

Tomando a expressão para o sinal modulado e calculando a transformada de Fourier em ambos os lados da equação, tem-se:

$$X_{AM}(\omega) = \frac{A_c}{2} [\delta(\omega - \omega_c) + \delta(\omega + \omega_c)] + \mu \frac{A_c}{2} [\delta(\omega - \omega_c) + \delta(\omega + \omega_c)], \quad (5.14)$$

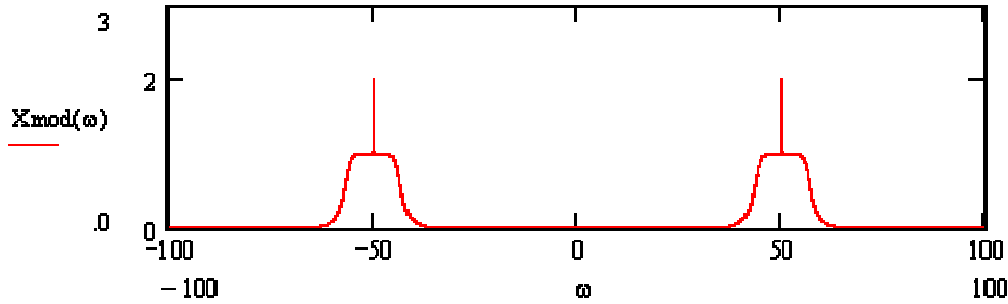


Figura 5.3 – Espectro do sinal modulado em amplitude com portadora.

Pode-se calcular a potência média transmitida pela seguinte expressão:

$$S_{AM}(\omega) = \frac{1}{T} \int_0^T x_{AM}^2(t) dt, \quad (5.15)$$

$$S_{AM}(\omega) = \frac{1}{T} \int_0^T \{A_c [1 + \mu x(t)] \cos(\omega_c t)\}^2 dt, \quad (5.16)$$

$$S_{AM}(\omega) = \frac{A_c^2}{T} \int_0^T [1 + \mu x(t)]^2 \cos^2(\omega_c t) dt, \quad (5.17)$$

$$S_{AM}(\omega) = \frac{A_c^2}{T} \int_0^T [1 + \mu x(t)]^2 \left[\frac{1 + \cos(2\omega_c t)}{2} \right] dt, \quad (5.18)$$

$$S_{AM}(\omega) = \frac{A_c^2}{2T} \int_0^T [1 + \mu x(t)]^2 dt + \frac{A_c^2}{2T} \int_0^T [1 + \mu x(t)]^2 \cos(2\omega_c t) dt. \quad (5.19)$$

Como a frequência da portadora é muito maior do que a frequência máxima do sinal de mensagem, então o segundo termo à direita de (5.19) é zero. Tem-se então:

$$S_{AM}(\omega) = \frac{A_c^2}{2T} \int_0^T [1 + \mu x(t)]^2 dt, \quad (5.20)$$

$$S_{AM}(\omega) = \frac{A_c^2}{2T} \int_0^T [1 + 2\mu x(t) + \mu^2 x(t)^2] dt, \quad (5.21)$$

$$S_{AM}(\omega) = \frac{A_c^2}{2T} \int_0^T [1 + \mu^2 x(t)^2] dt + \frac{A_c^2}{2T} \int_0^T 2\mu x(t) dt. \quad (5.22)$$

Assumindo que o valor médio do sinal de mensagem é zero, ou seja, $\int_0^T \mu x(t) dt = 0$.

Tem-se:

$$S_{AM}(\omega) = \frac{A_c^2}{2T} \int_0^T [1 + \mu^2 x(t)^2] dt, \quad (5.23)$$

$$S_{AM}(\omega) = \frac{A_c^2}{2T} \int_0^T 1 dt + \frac{A_c^2}{2T} \int_0^T \mu^2 x(t)^2 dt, \quad (5.24)$$

$$S_{AM}(\omega) = \frac{A_c^2}{2T} T + \frac{A_c^2 \mu^2}{2T} \int_0^T x(t)^2 dt, \quad (5.25)$$

$$S_{AM}(\omega) = \frac{A_c^2}{2} + \frac{A_c^2 \mu^2}{2} \frac{1}{T} \int_0^T x(t)^2 dt, \quad (5.25)$$

$$S_{AM}(\omega) = \frac{A_c^2}{2} \left[1 + \mu^2 \frac{1}{T} \int_0^T x(t)^2 dt \right], \quad (5.25)$$

$$S_{AM}(\omega) = \frac{A_c^2}{2} [1 + \mu^2 S_x(\omega)], \quad (5.25)$$

onde $S_x(\omega)$ é a densidade espectral de potência do sinal de mensagem.

5.2.1. MODULADORES AM

Existem basicamente dois tipos clássicos de moduladores AM. O modulador produto e o modulador balanceado. O modulador produto está apresentado esquematicamente na Fig. 5.4. O circuito multiplicador pode ser implementado utilizando uma célula de Gilbert, cujo funcionamento é baseado num par circuito par diferencial. O circuito somador pode ser implementado utilizando um circuito somador com amplificadores operacionais.

Note que a entrada é multiplicada pela onda oscilando na frequência da portadora e depois multiplicada pelo índice de modulação para só depois ser somada à portadora. Note

que se for realizada uma redução de diagramas de blocos, tem-se uma resposta equivalente a apresentada em (5.12).

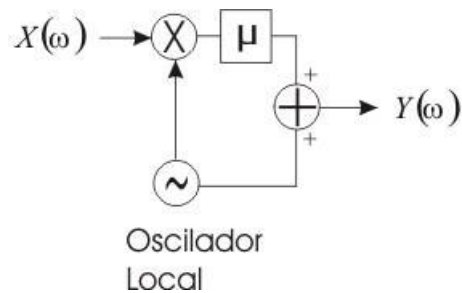


Figura 5.4 – Diagrama esquemático de um modulador AM produto.

O outro tipo de modulador é o modulador balanceado cujo diagrama esquemático está mostrado na Fig. 5.5. Note que o resultado proporcionado por este circuito não conta com uma parcela exclusiva da portadora. Esta solução é chamada de modulação em amplitude com supressão de portadora (**AM**, *Supressed Carrier Amplitude Modulation*) e o seu espectro está apresentado na Fig. 5.6.a. Esta solução é mais eficiente em termos de potência, contudo apresenta como desvantagens maior custo e detectores mais caros, já que um sistema AM comum pode utilizar um demodulador mais simples.

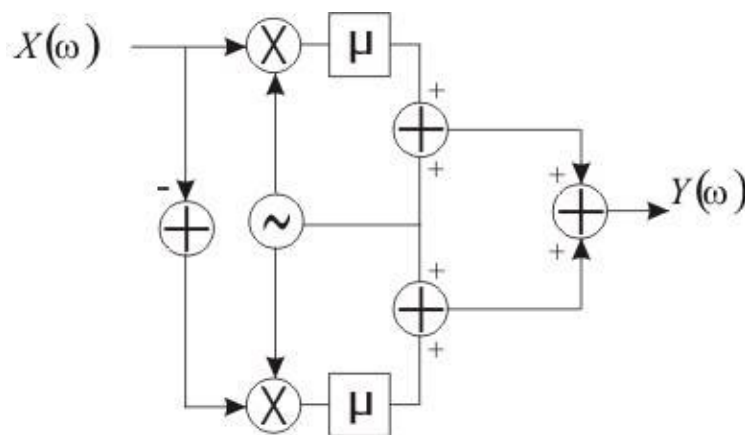


Figura 5.5 – Diagrama esquemático de um modulador AM balanceado.

Também é sabido que para sinais reais no tempo, o espectro na frequência é par, ou seja, as partes positivas (*Upper Side Band*) e negativo (*Lower Side Band*) do espectro em banda básica contém a mesma informação. Então, para economizar banda de transmissão

pode-se enviar somente uma das bandas. Este tipo de modulação é chamada de modulação em amplitude em banda simples (**AM-SSB**, *Amplitude Modulation with Single Sided Band*) e o seu espectro está apresentado na Fig. 5.6.b. Muitos sistemas AM utilizam este sistema.

Entretanto, às vezes é custoso construir filtros precisos para extrair somente uma parte do sinal. Então, existe uma solução intermediária (usada para transmitir o sinal de vídeo de um canal de televisão analógico convencional). Esta alternativa é chamada de modulação em amplitude com banda vestigial (**AM-VSB**, *Amplitude Modulation with Vestigial Sided Band*) e o seu espectro está apresentado na Fig. 5.6.c. O AM-VSB manda uma das bandas e uma parte da outra banda. A vantagem é que se tem uma menor utilização de faixa com menor restrição aos filtros.

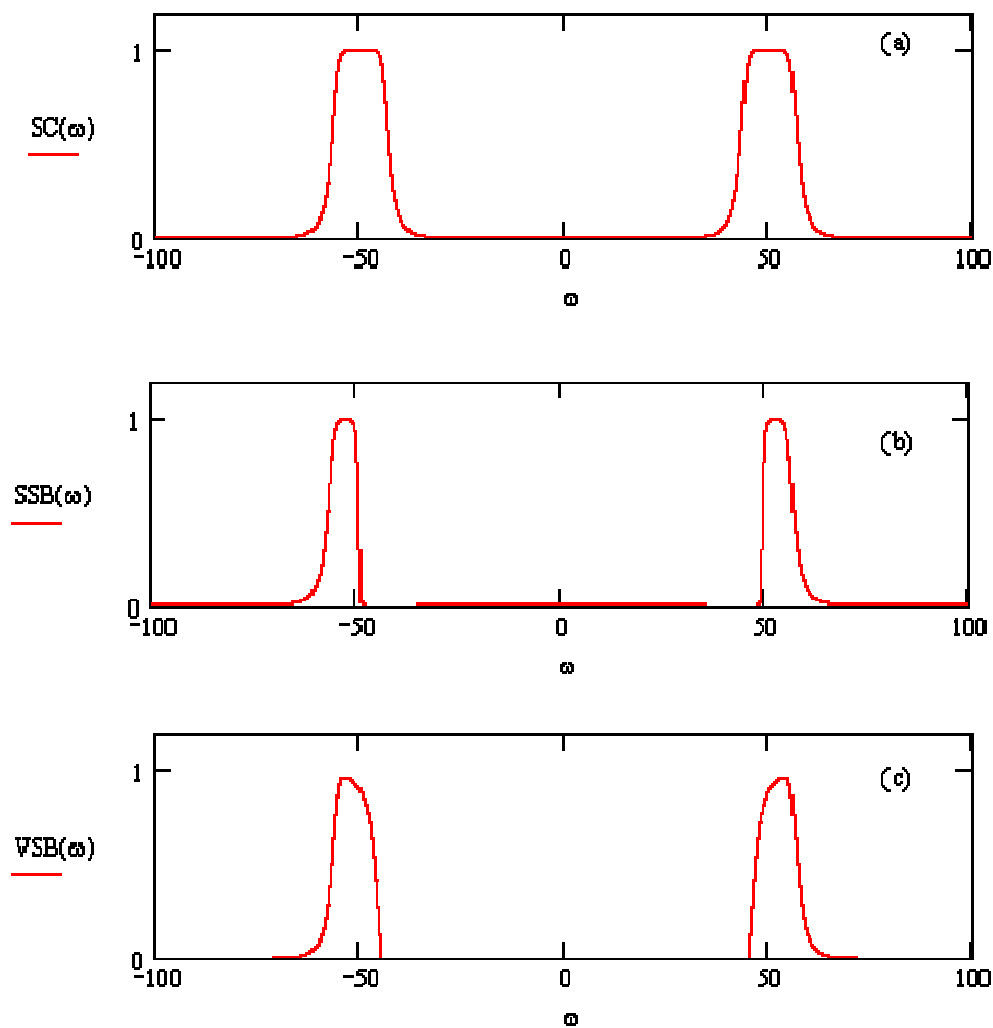


Figura 5.6 – Espectro do sinal modulado em amplitude com portadora.

5.2.2. DEMODULADORES AM

Existem basicamente dois tipos clássicos de demoduladores AM. O demodulador detector de envoltória e o demodulador por conversão de frequência. O demodulador detector de envoltória está apresentado esquematicamente na Fig. 5.7. O demodulador por conversão de frequência está apresentado esquematicamente na Fig. 5.8.

Considere o demodulador detector de envoltória, o primeiro bloco funcional é um retificador. O objetivo é tomar somente a parte positiva do sinal $A(t)$ (indicado na Fig. 5.8) resultando no sinal $B(t)$. Depois o sinal $B(t)$ passa por um filtro passa-baixa, gerando o sinal indicado em azul $C(t)$. Este sinal tem esta aparência porque o sinal não consegue acompanhar o sinal de alta frequência.

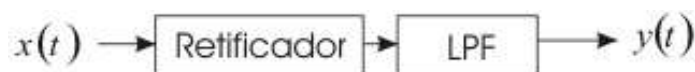


Figura 5.7 – Diagrama esquemático de um demodulador AM detector de envoltória.



Figura 5.8 – Diagrama esquemático de um demodulador AM por conversão de frequência.

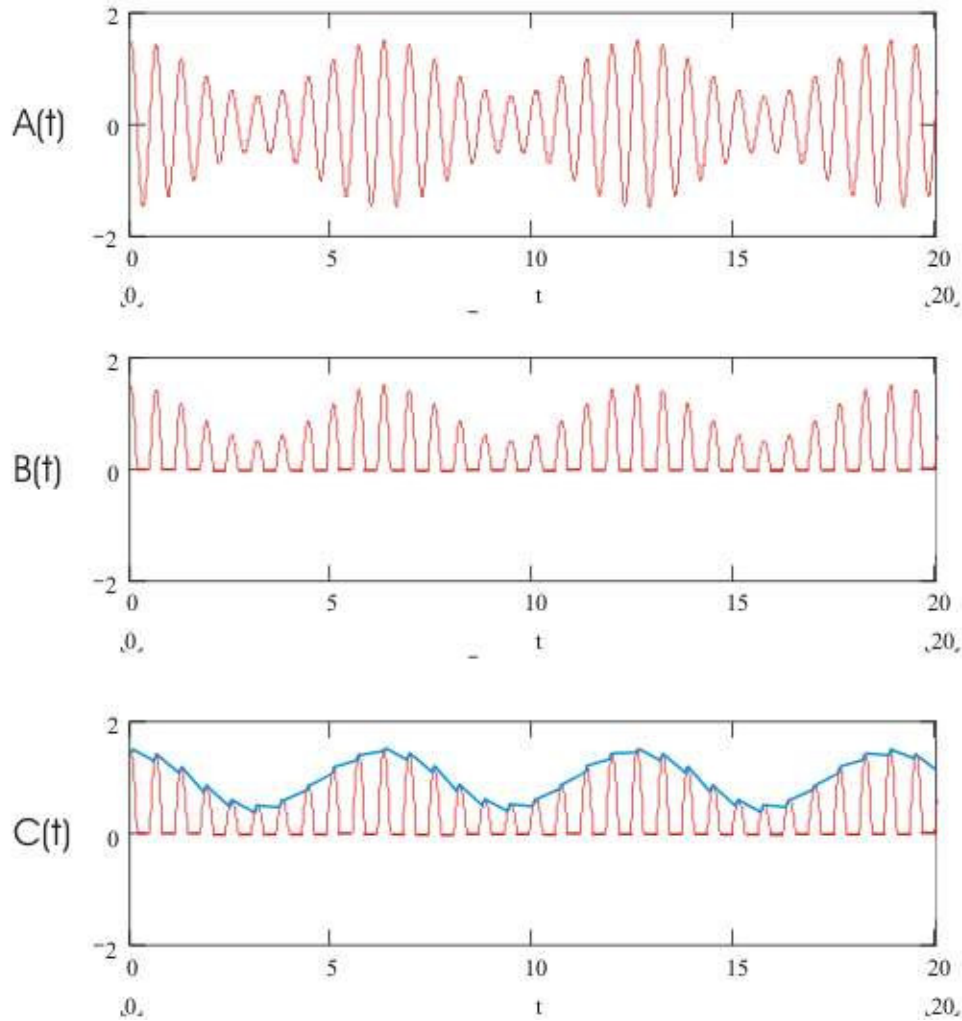


Figura 5.9 – Sinais envolvidos em um exemplo de demodulação AM por detecção de envoltória.

$A(t)$ Sinal original, $b(t)$ sinal retificado e $c(t)$ sinal demodulado depois de passar pelo LPF.

Considere o demodulador por conversor de frequência, o bloco funcional multiplicador gera um sinal produto do sinal proveniente de um oscilador local e o sinal modulado que tem a seguinte forma:

$$y_{\text{multiplicador}}(t) = A_c [1 + \mu x(t)] \cos(\omega_c t) A_c \cos(\omega_c t), \quad (5.26)$$

$$y_{\text{multiplicador}}(t) = A_c^2 [1 + \mu x(t)] \cos^2(\omega_c t), \quad (5.27)$$

$$y_{\text{multiplicador}}(t) = A_c^2 [1 + \mu x(t)] \left[\frac{1 + \cos(2\omega_c t)}{2} \right], \quad (5.27)$$

Depois do filtro passa-baixa o sinal $y_{multiplicador}(t)$ perde a componente de alta frequência e se reduz a:

$$y_{multiplicador}(t) = \frac{A_c^2}{2} [1 + \mu x(t)], \quad (5.27)$$

que depende linearmente com o sinal em banda básica.

5.4. MODULAÇÃO ANGULAR

A modulação angular consiste em alterar a fase instantânea da portadora de acordo com o sinal que se deseja transmitir. A maior vantagem desta classe de modulações é que como a variação imposta pelo sinal está na fase da portadora e a maioria dos ruídos e interferências atuam na amplitude, então estas podem fornecer uma melhor discriminação contra ruído e interferência quando comparadas às modulações em amplitude.

Essencialmente, todas as modulações angulares podem ser representadas da seguinte forma:

$$x_{modulação_angular}(t) = A_c \cos \phi_i(t), \quad (5.28)$$

onde $\phi_i(t)$ é a fase instantânea da portadora.

Se a fase instantânea da portadora $\phi_i(t)$ aumentar monotonicamente no tempo em um intervalo de tempo $[t, t+t_0]$, pode-se calcular a frequência média da portadora como:

$$\omega_{média}(t) = \frac{\phi_i(t+t_0) - \phi_i(t)}{t_0}. \quad (5.29)$$

Então, se o intervalo de tempo t_0 for infinitesimal, pode-se definir a frequência angular instantânea $\omega_i(t)$ pela seguinte expressão:

$$\omega_i(t) = \frac{d\phi_i(t)}{dt}. \quad (5.30)$$

Note que a frequência angular instantânea $\omega_i(t)$ for constante, caso correspondente à portadora não modulada, então:

$$\phi_i(t) = \omega_c t + \phi_c, \quad (5.31)$$

onde ω_c é a frequência angular central da portadora e ϕ_c é a fase inicial da portadora.

Existem duas formas básicas de associar a fase da portadora ao sinal de mensagem $x(t)$, são elas:

- Modulação em fase (PM, *Phase modulation*)
- Modulação em frequência (FM, *Frequency modulation*)

5.3.1. MODULAÇÃO EM FASE: DEFINIÇÃO

Neste caso, o ângulo instantâneo da portadora é variado linearmente de acordo com o sinal de mensagem, ou seja,

$$\phi_i(t) = \omega_c t + K_p x(t), \quad (5.32)$$

onde K_p é a sensibilidade à fase do modulador.

Note que a frequência central da portadora permanece inalterada. Entretanto, a fase da portadora será alterada de acordo com a amplitude do sinal. O sinal modulado em fase pode então ser expresso pela seguinte equação:

$$x_{PM}(t) = A_c \cos[\omega_c t + K_p x(t)], \quad (5.33)$$

isto se a fase inicial da portadora for nula.

Perceba que se o sinal de mensagem for nulo, tem-se uma onda em fase com a função coseno. Por outro lado, se $x(t) = \frac{\pi}{2K_p}$:

$$x_{PM}(t) = A_c \cos\left(\omega_c t + \frac{\pi}{2}\right), \quad (5.34)$$

que corresponde a:

$$x_{PM}(t) = -A_c \sin(\omega_c t). \quad (5.35)$$

Perceba que se o sinal de mensagem pode influenciar diretamente a fase do sinal modulado. A modulação em fase é muito utilizada para esquemas de modulação digital.

5.3.2. MODULAÇÃO EM FREQUENCIA: DEFINIÇÃO

Neste caso, a frequência instantânea da portadora é que depende linearmente do sinal de mensagem, ou seja,

$$\omega_i(t) = \omega_c + K_\omega x(t), \quad (5.36)$$

onde K_ω é a sensibilidade à frequência angular do modulador. Pode-se definir também a sensibilidade à frequência do modulador como $K_f = \frac{K_\omega}{2\pi}$.

Note que como $\omega_i(t) = \frac{d\phi_i(t)}{dt}$, então:

$$\phi_i(t) = \int_0^t \omega_i(\tau) d\tau, \quad (5.37)$$

Substituindo (5.36) em (5.37):

$$\phi_i(t) = \int_0^t [\omega_c + K_\omega x(\tau)] d\tau, \quad (5.38)$$

que corresponde a:

$$\phi_i(t) = \int_0^t \omega_c d\tau + \int_0^t K_\omega x(\tau) d\tau, \quad (5.39)$$

$$\phi_i(t) = \omega_c \int_0^t d\tau + K_\omega \int_0^t x(\tau) d\tau, \quad (5.40)$$

$$\phi_i(t) = \omega_c t + K_\omega \int_0^t x(\tau) d\tau. \quad (5.41)$$

Substituindo (5.41) em (5.28), pode-se definir a expressão geral para um sinal modulado em frequência:

$$x_{FM}(t) = A_c \cos \left[\omega_c t + K_\omega \int_0^t x(\tau) d\tau \right], \quad (5.42)$$

5.3.3. RELAÇÃO ENTRE MODULAÇÃO EM FASE E MODULAÇÃO EM FREQUENCIA

Perceba que em ambos os casos (PM e FM), existe uma alteração nos instantes em que a portadora cruza o eixo de tempo em função do sinal de mensagem. Note que isso não ocorre para modulações em amplitude puras. Por outro lado, nas modulações PM e FM, a

amplitude não é alterada significativamente, o que é bastante interessante para transmissão, já que a maior parte dos ruídos e interferências influencia na amplitude.

Um modulador FM pode ser construído a partir de um bloco funcional integrador (ver capítulo 3), seguido de um modulador PM. Por outro lado, um modulador PM pode ser construído a partir de um bloco funcional diferenciador (ver capítulo 3), seguido de um modulador FM.

5.4. MODULAÇÃO EM FREQUÊNCIA

Como a modulação em frequência é amplamente utilizada, esta seção será devotada a esclarecer aspectos importantes sobre a mesma.

Como pode ser facilmente percebido a partir da observação de (5.42), o sinal FM é uma função não linear do sinal de mensagem. Assim, o conteúdo espectral de um sinal FM não apresenta, à princípio, as mesmas características do sinal em banda base.

Se K_F é positivo, quanto maior o valor de $x(t)$, maior é a frequência instantânea da portadora. A Fig. 5.10 mostra um sinal de mensagem $x(t)$ com frequência angular 1 e o sinal modulado onde a portadora com frequência angular fundamental 10 e com $k_F = 4$. Note que a proposição acima é verificada.

Para facilitar o entendimento para o espectro de um sinal FM, considere um sinal com tom único e de amplitude constante, ou seja,

$$x(t) = A_s \cos(\omega_s t), \quad (5.43)$$

Assim utilizando (5.36) e a equação acima, pode-se determinar a frequência angular instantânea da portadora pela seguinte expressão:

$$\omega_i(t) = \omega_c + K_\omega A_s \cos(\omega_s t), \quad (5.44)$$

Ou ainda,

$$\omega_i(t) = \omega_c + \Delta K \cos(\omega_s t), \quad (5.45)$$

onde $\Delta K = K_\omega A_s$ é o máximo desvio de frequência angular do modulador. Note que também é possível definir o desvio de frequência como $\Delta f = \frac{K_\omega A_s}{2\pi} = K_f A_s$. O desvio de frequência representa a variação máxima da frequência instantânea em relação à frequência da portadora.

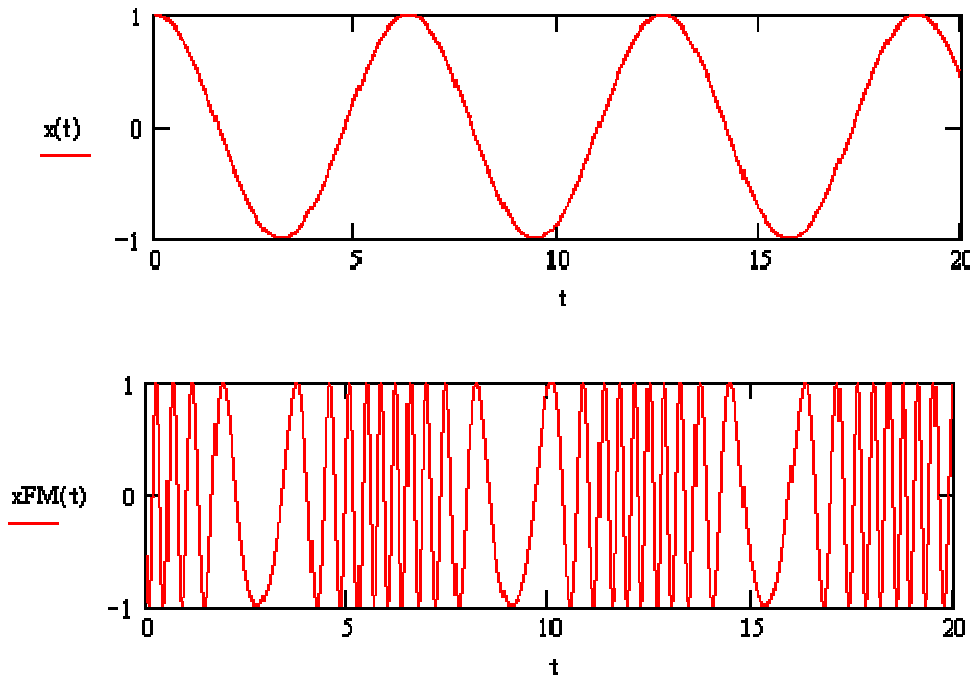


Figura 5.10 – Sinais envolvidos em um exemplo de modulação FM por detecção de envoltória. $x(t)$ é o sinal de mensagem, enquanto que $x_{FM}(t)$ é o sinal modulado em frequência com K_F positivo.

Substituindo (5.45) em (5.42), tem-se

$$x_{FM}(t) = A_c \cos \left[\omega_c t + K_\omega \int_0^t A_s \cos(\omega_s \tau) d\tau \right], \quad (5.46)$$

$$x_{FM}(t) = A_c \cos \left[\omega_c t + K \omega_s \int_0^t \cos(\omega_s \tau) d\tau \right], \quad (5.47)$$

$$x_{FM}(t) = A_c \cos \left[\omega_c t + \Delta K \int_0^t \cos(\omega_s \tau) d\tau \right], \quad (5.48)$$

$$x_{FM}(t) = A_c \cos \left[\omega_c t + \Delta K \frac{\sin(\omega_s t)}{\omega_s} \right], \quad (5.49)$$

$$x_{FM}(t) = A_c \cos[\omega_c t + \beta \sin(\omega_s t)], \quad (5.50)$$

onde $\beta = \frac{\Delta K}{\omega_s}$ é o índice de modulação em frequência e é definido pela razão entre o máximo desvio de frequência angular do modulador e a frequência angular da portadora.

Dependendo do valor de β em relação à 1 rad, pode-se continuar esta análise de duas formas distintas, a saber:

- $\beta \ll 1$ rad \rightarrow Análise de FM banda estreita;
- Caso contrário \rightarrow Análise de FM banda larga.

5.4.1. ANÁLISE DE FM BANDA ESTREITA

Considere (5.50) e aplique a relação trigonométrica do cosseno da soma:

$$x_{FM}(t) = A_c \cos[\beta \sin(\omega_s t)] \cos(\omega_c t) - A_c \sin(\omega_c t) \sin[\beta \sin(\omega_s t)]. \quad (5.51)$$

Como β é muito pequeno, então $\cos[\beta \sin(\omega_s t)] \cong 1$ e $\sin[\beta \sin(\omega_s t)] \cong \beta \sin(\omega_s t)$.
Então,

$$x_{FM}(t) = A_c \cos(\omega_c t) - A_c \sin(\omega_c t) \beta \sin(\omega_s t), \quad (5.52)$$

$$x_{FM}(t) = A_c \cos(\omega_c t) - A_c \beta \sin(\omega_c t) \sin(\omega_s t). \quad (5.53)$$

Então, pode-se construir o diagrama de blocos para um modulador FM banda estreita da seguinte forma:

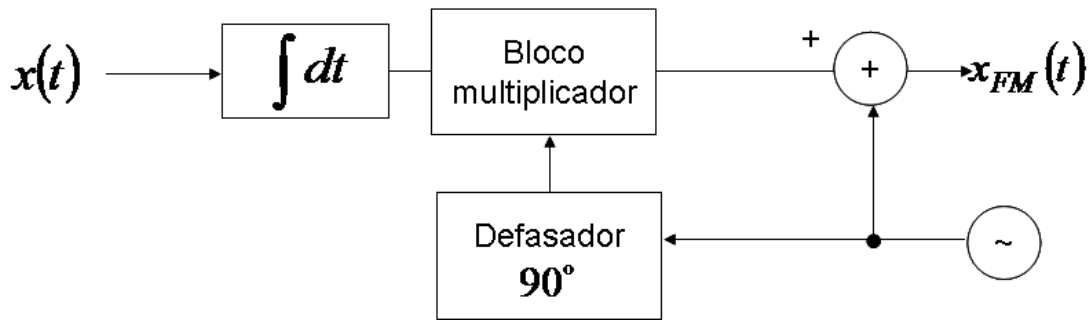


Figura 5.11 – Diagrama de blocos de um modulador FM banda estreita.

Perceba que neste caso o módulo do sinal FM modulado de banda estreita é um pouco diferente da amplitude da portadora. Entretanto para valores de β muito pequenos ($\beta < 0,3 \text{ rad}$), a diferença é desprezível.

Retomando (5.53) e aplicando a propriedade trigonométrica da multiplicação de senos, tem-se:

$$x_{FM}(t) = A_c \cos[\omega_c t] - \frac{A_c \beta}{2} [\cos(\omega_c + \omega_s)t - \cos(\omega_c - \omega_s)t]. \quad (5.54)$$

Então, o espectro de um sinal FM de banda estreita para um sinal de mensagem de frequência única é dado por:

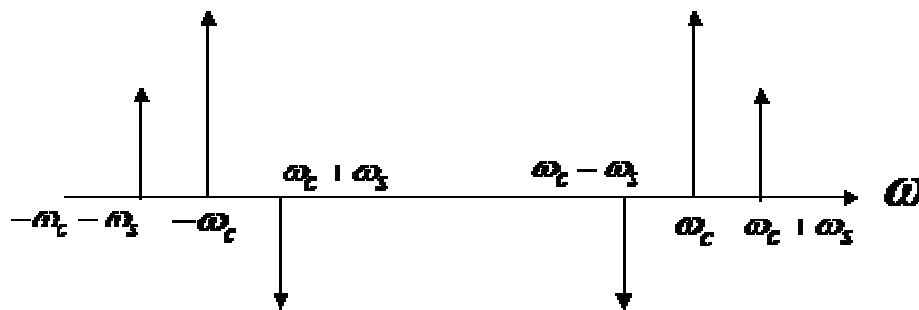


Figura 5.12 – Espectro de um sinal FM banda estreita para um sinal de mensagem de tom único.

Perceba que a largura de banda para sinal FM de banda estreita para um sinal de mensagem é de $2\omega_s$, que é a mesma largura para o caso AM.

5.4.2. ANÁLISE DE FM BANDA LARGA

Reconsidere (5.50), pode-se representar este sinal na forma:

$$x_{FM}(t) = A_c \Re \left[e^{j\omega_c t + j\beta \sin(\omega_s t)} \right], \quad (5.55)$$

$$x_{FM}(t) = A_c \Re \left[e^{j\beta \sin(\omega_s t)} e^{j\omega_c t} \right], \quad (5.56)$$

$$x_{FM}(t) = \Re \left[A_c e^{j\beta \sin(\omega_s t)} e^{j\omega_c t} \right]. \quad (5.57)$$

Considerando $s(t) = A_c e^{j\beta \sin(\omega_s t)}$ como a envoltória complexa do sinal de FM. Sabendo que $s(t)$ é uma função periódica, pode-se calcular a série exponencial de Fourier para representar o sinal na seguinte forma:

$$s(t) = \sum_{n=-\infty}^{\infty} c_n e^{jn\omega_s t}, \quad (5.58)$$

Então, pode-se calcular os coeficientes da série de Fourier por:

$$c_n = \frac{\omega_s}{2\pi} \int_{-\frac{\pi}{\omega_s}}^{\frac{\pi}{\omega_s}} s(t) e^{-jn\omega_s t} dt, \quad (5.59)$$

$$c_n = \frac{\omega_s}{2\pi} \int_{-\frac{\pi}{\omega_s}}^{\frac{\pi}{\omega_s}} A_c e^{j\beta \sin(\omega_s t)} e^{-jn\omega_s t} dt, \quad (5.60)$$

$$c_n = \frac{\omega_s A_c}{2\pi} \int_{-\frac{\pi}{\omega_s}}^{\frac{\pi}{\omega_s}} e^{j\beta \sin(\omega_s t) - jn\omega_s t} dt. \quad (5.61)$$

Fazendo uma mudança de variáveis $y = \omega_s t$, tem-se:

$$c_n = \frac{A_c}{2\pi} \int_{-\pi}^{\pi} e^{j\beta \sin x - jnx} dx. \quad (5.62)$$

Mas por definição, as funções de Bessel de primeira espécie de n -ésima ordem $J_n(\theta)$ com argumento θ são dadas por:

$$J_n(\theta) = \frac{1}{2\pi} \int_{-\pi}^{\pi} e^{j\theta \sin x - jnx} dx. \quad (5.63)$$

Então, pode-se concluir com (5.62) e (5.63) que:

$$c_n = A_c J_n(\beta). \quad (5.64)$$

Substituindo (5.64) em (5.58), tem-se:

$$s(t) = \sum_{n=-\infty}^{\infty} A_c J_n(\beta) e^{jn\omega_s t}, \quad (5.65)$$

Substituindo a equação para a envoltória (5.65) em (5.57), tem-se:

$$x_{FM}(t) = \Re \left[\sum_{n=-\infty}^{\infty} A_c J_n(\beta) e^{jn\omega_s t} e^{j\omega_c t} \right], \quad (5.66)$$

$$x_{FM}(t) = \sum_{n=-\infty}^{\infty} A_c J_n(\beta) \Re \left[e^{jn\omega_s t} e^{j\omega_c t} \right], \quad (5.67)$$

$$x_{FM}(t) = \sum_{n=-\infty}^{\infty} A_c J_n(\beta) \cos(\omega_c + n\omega_s)t, \quad (5.68)$$

Calculando a transformada de Fourier de (5.68), tem-se:

$$X_{FM}(\omega) = A_c \pi \sum_{n=-\infty}^{\infty} J_n(\beta) [\delta(\omega + \omega_c + n\omega_s) - \delta(\omega - \omega_c - n\omega_s)], \quad (5.69)$$

Perceba que o espectro de FM, à princípio tem infinitas componentes de frequência, nos harmônicos de ω_s com referência em ω_c .

A Figura 5.13 apresenta o comportamento das funções de Bessel de primeira espécie de n -ésima ordem.

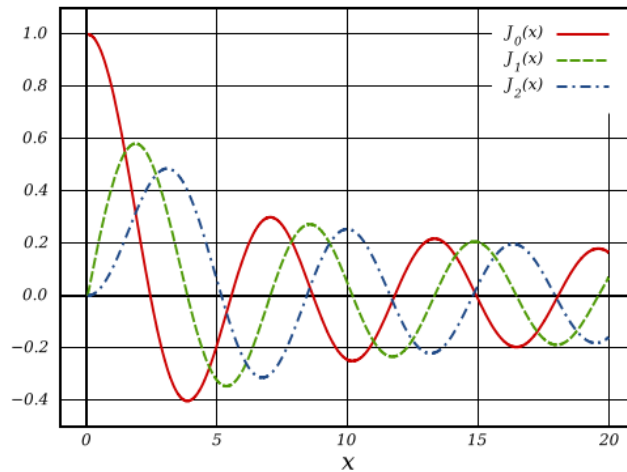


Figura 5.13 – Comportamento das funções de Bessel de primeira espécie de n -ésima ordem.

Algumas propriedades das funções de Bessel de primeira espécie de n -ésima ordem $J_n(\beta)$ podem ajudar a entender melhor o espectro de FM banda larga.

No caso em que β é muito pequeno, $J_n(\beta) \cong 0$ para n diferente de 0, 1 e -1. Já $J_0(\beta) \cong 1$ e $J_1(\beta) \cong \frac{\beta}{2}$. Como $J_n(\beta) = (-1)^n J_{-n}(\beta)$, então para β é muito pequeno $J_{-1}(\beta) \cong -\frac{\beta}{2}$. Logo, para o caso onde β é muito pequeno, utilizando (5.68), tem-se:

$$x_{FM}(t) = A_c J_0(\beta) \cos(\omega_c t) + A_c J_1(\beta) \cos(\omega_c + \omega_s)t + A_c J_{-1}(\beta) \cos(\omega_c - \omega_s)t, \quad (5.70)$$

$$x_{FM}(t) = A_c \cos(\omega_c t) + A_c \frac{\beta}{2} \cos(\omega_c + \omega_s)t - A_c \frac{\beta}{2} \cos(\omega_c - \omega_s)t, \quad (5.71)$$

Que corresponde ao caso FM banda estreita, relatado em (5.54).

Outra propriedade interessante diz que $\sum_{n=-\infty}^{\infty} J_n^2(\beta) = 1$.

5.4.3. FM: LARGURA DE BANDA

No caso de FM banda larga com β elevado, pode-se mostrar que as componentes significativas de potência estão na faixa $\omega_c - \Delta\omega$ e $\omega_c + \Delta\omega$. Por outro lado, para FM banda estreita o intervalo é $\omega_c - \omega_s$ e $\omega_c + \omega_s$.

Seguindo estas diretivas, Carson definiu empiricamente como banda de transmissão de FM (em Hertz) gerado para um tom usando a seguinte expressão:

$$Banda = \frac{2\omega_s + 2\Delta\omega}{2\pi}, \quad (5.72)$$

$$Banda = \frac{\omega_s + \Delta\omega}{\pi}, \quad (5.73)$$

$$Banda = \frac{\Delta\omega}{\pi} \left(1 + \frac{\omega_s}{\Delta\omega} \right), \quad (5.74)$$

$$Banda = \frac{\Delta\omega}{\pi} \left(1 + \frac{1}{\beta} \right). \quad (5.75)$$

Outra regra que pode ser aplicada é definir o ponto de corte como sendo a última componente de frequência cuja amplitude é maior do que 1% da amplitude da portadora não modulada, ou seja,

$$Banda = 2n_{\max} f_s, \quad (5.76)$$

Onde n_{\max} é o maior inteiro que satisfaça a condição $|J_n(\beta)| > 0,01$.

A figura 5.14 mostra a dependência da banda de transmissão normalizada pela máxima excursão de frequência em função de β .

FIGURA banda normalizada em função de beta

Figura 5.14 – Comportamento da banda de transmissão normalizada necessária em função de β .

No caso de um sinal modulante com banda W , deve-se pegar o pior caso, ou seja, a maior frequência e a maior excursão de amplitude. Então, pode-se definir o coeficiente de desvio D , que corresponde a β no caso geral.

Como exemplo, considere um sinal com banda de 15 KHz e máximo desvio de frequência de 60 KHz, onde se quer calcular a banda necessária para transmissão de um canal. Pela regra de Carson, $Banda = 2(15 + 60) = 150 KHz$. Usando a regra do 1%,

$\beta = \frac{\Delta f}{f_{s_max}} = \frac{60}{15} = 4$. Pela figura 5.14, quando $\beta = 4$, a banda normalizada assume valor de aproximadamente 3,5. Logo, a banda é 3,5 vezes a excursão máxima de 60 KHz, ou seja, 210 KHz.

5.4.4. GERAÇÃO DE FM

Existem dois métodos para geração de FM:

- Método direto;
- Método indireto.

O método direto consiste em utilizar um circuito oscilador controlado por tensão (**VCO**, *Voltage Controlled Oscillator*). Este circuito altera a frequência de oscilação na sua saída a partir da amostragem do nível de tensão presente na sua entrada. Entretanto, quando se deseja estabilidade, deve-se utilizar o método indireto.

No método indireto, o sinal modulante é primeiramente usado para gerar um sinal FM banda estreita e depois se usa a multiplicação de frequência para aumentar o desvio de frequência até o limite desejado. O diagrama de blocos do método indireto está mostrado na Figura 5.15.

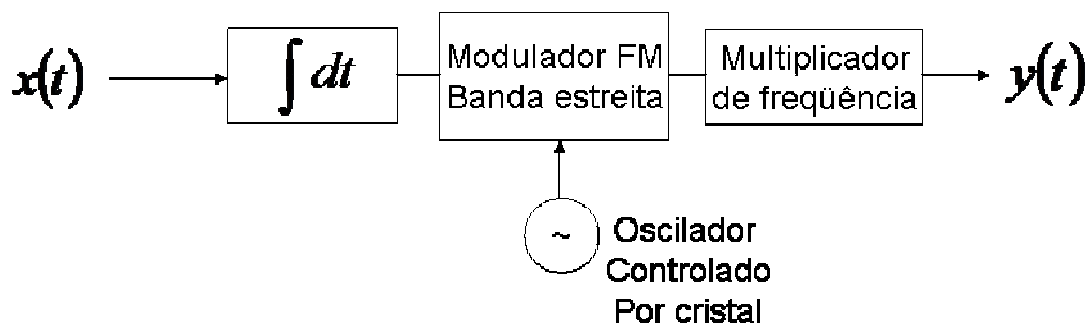


Figura 5.15 – Diagrama de blocos para o gerador de FM pelo método indireto.

Já o circuito demodulador de FM mais conhecido é o PLL (*Phased Locked Loop*). Este circuito utiliza um comparador, um VCO e um filtro. O funcionamento segue a seguinte lógica: Quando ocorre uma variação de fase na entrada do circuito, esta diferença de fase é detectada e gera uma variação de tensão na saída do circuito.

5.5. MODULAÇÕES DIGITAIS

As principais modulações digitais são: ASK (*Amplitude Shifting Keying*), FSK (*Frequency Shifting Keying*), PSK (*Phase Shifting Keying*) e QAM (*Quadrature Amplitude Modulation*). Como dito anteriormente, a diferença entre as modulações analógicas e digitais está no sinal de mensagem que pode ser analógico ou digital, respectivamente.

A modulação ASK funciona de forma análoga à modulação AM, sendo a única diferença a formatação do sinal de mensagem. A Fig. 5.16 apresenta um exemplo de modulação ASK com 2 níveis (B do BASK indica binário). Note que a amplitude do sinal modulado só assume valores pré-determinados.

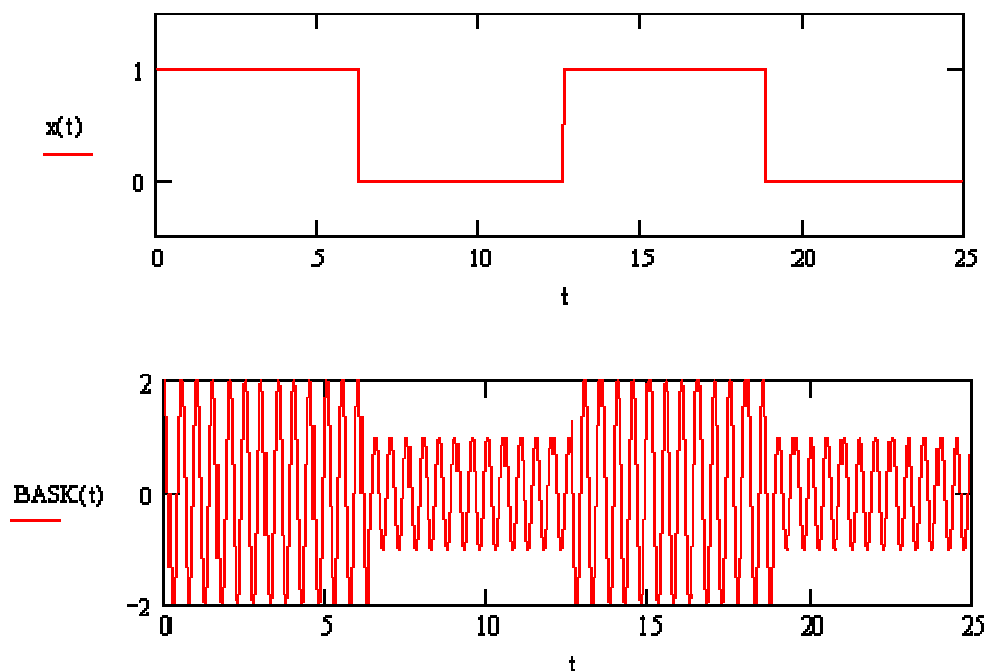


Figura 5.16 – Sinais envolvidos em um exemplo de modulação ASK com dois níveis. $x(t)$ é o sinal de mensagem, enquanto que $BASK(t)$ é o sinal modulado digitalmente em amplitude com 2 níveis.

Já a Fig. 5.17 apresenta um exemplo de modulação ASK com 4 níveis (Q do QASK indica quatro níveis). Note que a amplitude do sinal modulado assume valores de acordo com a amplitude do sinal.

A vantagem direta da modulação ASK em relação à modulação AM é que na modulação AM qualquer ruído atingia diretamente a informação contida no envelope. No caso do ASK o ruído pode agir sobre o sinal modulado, mas precisa ser mais significativo para que o receptor interprete um nível diferente.

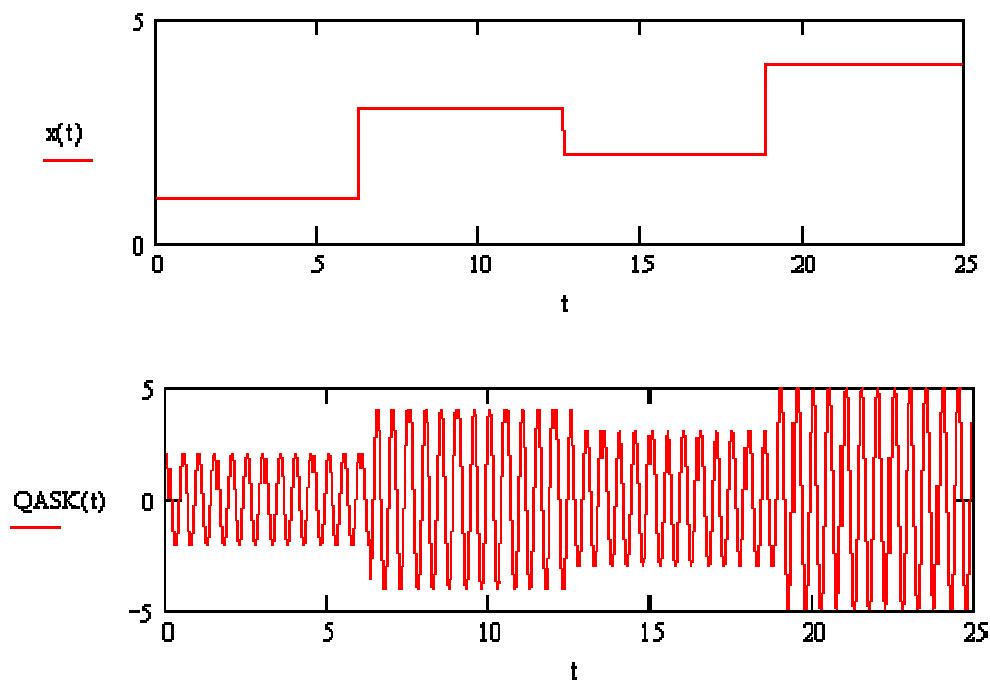


Figura 5.17 – Sinais envolvidos em um exemplo de modulação QASK. $x(t)$ é o sinal de mensagem, enquanto que $QASK(t)$ é o sinal modulado digitalmente em amplitude com 4 níveis.

A modulação FSK funciona de forma análoga à modulação FM, sendo que as frequências permitidas para a portadora são pré-definidas e estão diretamente correlacionadas com os níveis de tensão do sinal de mensagem. Por exemplo, um sinal com três níveis n_1 , n_2 e n_3 implica que a portadora só pode oscilar em frequências f_1 , f_2 e f_3 . A Fig. 5.18 apresenta um exemplo de modulação FSK com 4 níveis. Note que quanto maior a amplitude do sinal, maior a frequência da portadora.

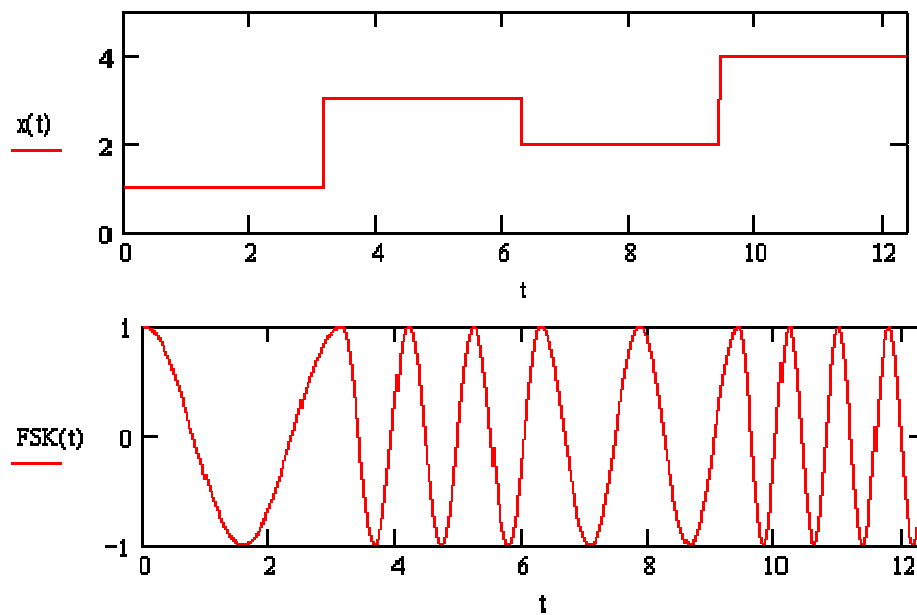


Figura 5.18 – Sinais envolvidos em um exemplo de modulação QFSK. $x(t)$ é o sinal de mensagem, enquanto que $FSK(t)$ é o sinal modulado digitalmente em frequência com 4 níveis.

Outra forma de modulação é a modulação PSK funciona, onde a fase da portadora depende diretamente do nível de tensão do sinal de mensagem. A Fig. 5.19 apresenta um exemplo de modulação BPSK e a Fig. 5.20 apresenta um exemplo de modulação QPSK.

Por exemplo, considere o caso da Fig. 5.13, $x(t)=1$ significa enviar um sinal $\cos(t)$, enquanto que $x(t)=-1$ significa enviar o sinal defasado de 180° , no caso $-\cos(t)$.

Pode-se considerar ainda outro caso da Fig. 5.20, onde 4 níveis são codificados em dois bits e para cada combinação possível é enviado um sinal diferente, por exemplo $\cos(t)$, $\sin(t)$, $-\cos(t)$ e $-\sin(t)$.

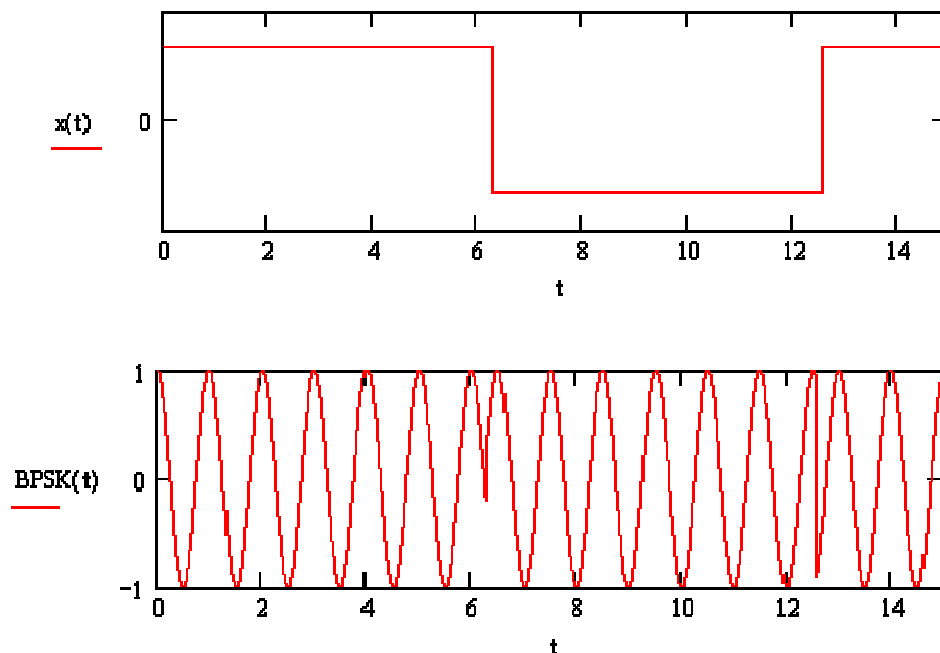


Figura 5.19 – Sinais envolvidos em um exemplo de modulação PSK com dois níveis. $x(t)$ é o sinal de mensagem, enquanto que $BPSK(t)$ é o sinal modulado digitalmente em fase com 2 níveis.

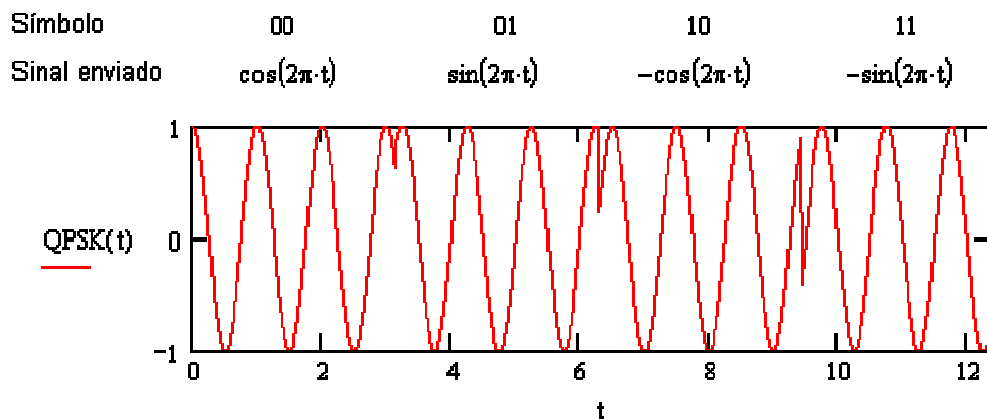


Figura 5.20 – Sinais envolvidos em um exemplo de modulação PSK com quatro níveis. $x(t)$ é o sinal de mensagem, enquanto que $QPSK(t)$ é o sinal modulado digitalmente em fase com 4 níveis.

5.5. MODULAÇÃO DE PULSO

Considere um sinal de mensagem apresentado na Fig. 5.21.a. Na modulação por amplitude de pulso (**PAM**, *Pulse Amplitude Modulation*) a amplitude de cada pulso é

proporcional à amplitude do sinal de mensagem num dado instante (ver Fig. 5.21.b). Na modulação por duração de pulso (**PDM**, *Pulse Duration Modulation*) a duração temporal de cada pulso é proporcional à amplitude do sinal de mensagem num dado instante (ver Fig. 5.21.c). Na modulação por posição de pulso (**PPM**, *Pulse Position Modulation*) a posição de cada pulso dentro da janela temporal de transmissão é proporcional à amplitude do sinal de mensagem num dado instante (ver Fig. 5.21.d).

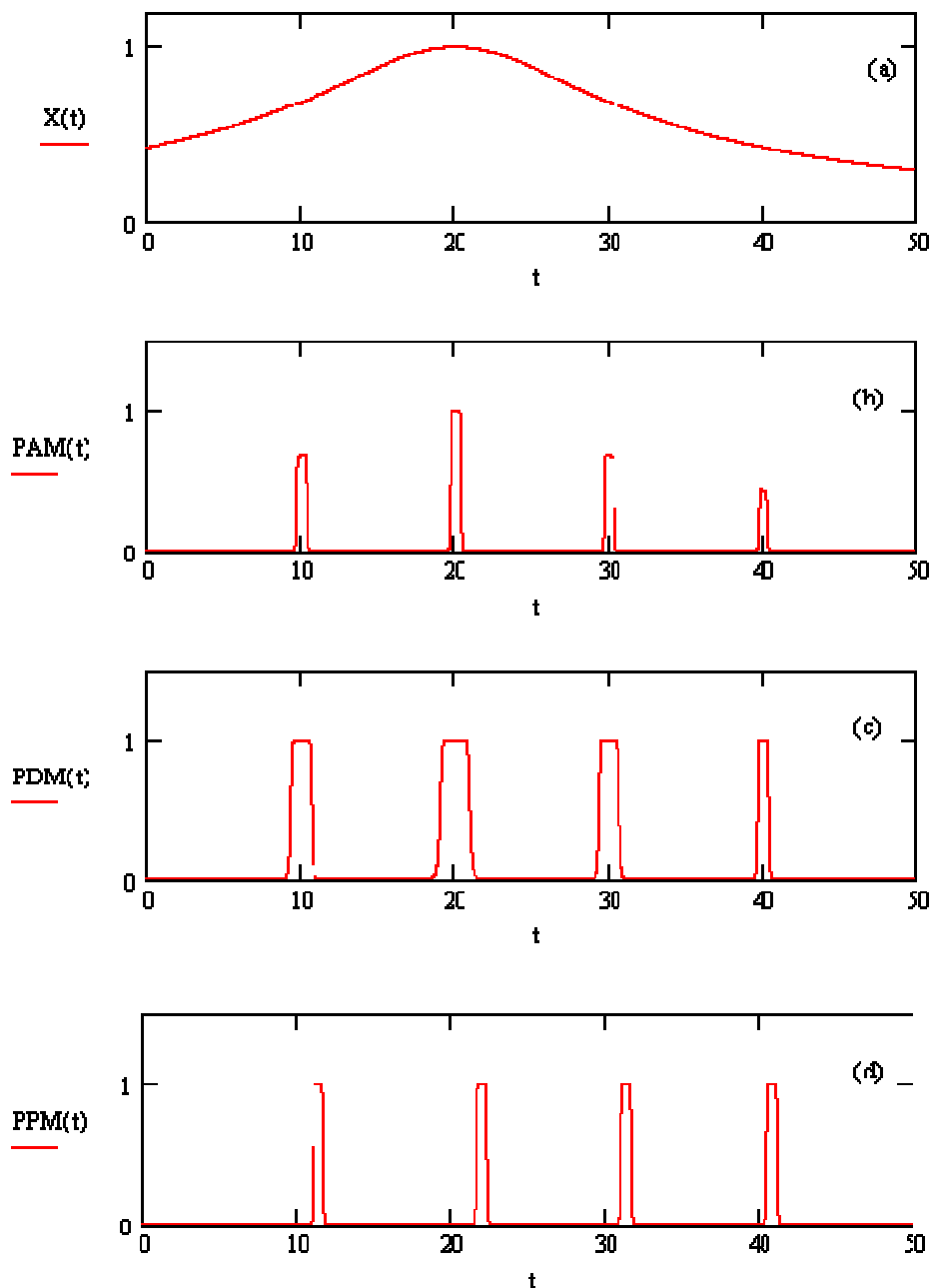


Figura 5.21 – Modulações de trens de pulso por (a) amplitude, (b) duração e (c) deslocamento.

5.4. EXERCÍCIOS PROPOSTOS

5.4.1. Por que FM é mais robusto do que AM?

5.4.2. Esboce, utilizando ferramenta computacional, o sinal modulado AM em função do tempo. A portadora tem amplitude 5 e frequência 5 kHz. O sinal tem frequência 100 Hz e amplitude 4. O índice de modulação é 0,7. Esboce também para um sinal AM-SC.

5.4.3. Construa o diagrama de blocos de um sistema AM-VSB. A banda do sinal é de 5 MHz. A frequência fundamental deve ser de 100 MHz. Filtros trapezoidais de 6 MHz de banda plana e banda de 3 dB de 8 MHz devem ser usados.

5.4.4. Discorra sobre QAM.

5.4.5. Qual a diferença entre QPSK e DQPSK?